

А. А. БАГДАСАРЬЯН, И. С. МАЛОТИН

## СВОБОДНЫЕ КОЛЕБАНИЯ ЦИЛИНДРИЧЕСКОЙ ОБОЛОЧКИ, СОЕДИНЕННОЙ КЛЕЕМ С КОЛЬЦЕВЫМИ РЕБРАМИ

В современной технике находят применение клевые соединения оболочек и подкрепляющих их элементов [1]. Особенностью таких соединений является наличие между оболочкой и подкрепляющим элементом промежуточного слоя с упругими характеристиками, существенно отличающимися от характеристик соединяемых элементов, поэтому представляет интерес рассмотрение влияния этого слоя на колебания оболочек.

В данной работе решается задача о собственных колебаниях цилиндрической оболочки, соединенной с кольцевыми ребрами жесткости путем склеивания, при действии внешнего давления и осевых сил. Учитывается дискретный характер размещения ребер и эксцентризитет центра тяжести сечения ребер относительно срединной поверхности оболочек. Приводятся числовые результаты.

Уравнения собственных колебаний нагруженной оболочки записаны в виде [2]

$$L_{11}u + L_{12}v + L_{13}w + B \left[ (-1)^i (1 - \delta_{kl}) \sum_{i=1}^m q_{ik} \delta(x - x_i) + \right. \\ \left. - (3c^2)^{1/2} q_{k3} \frac{\partial}{\partial y} \sum_{i=1}^m \varepsilon_i q_{ij} \delta(x - x_i) \right] = 0 \quad (1)$$
$$c^2 = \frac{h^2}{12R^2}, \quad B = \frac{(1 - \nu^2)R}{Eh}, \quad (k = 1, 2, 3)$$

Здесь  $u$ ,  $v$ ,  $w$  — компоненты перемещений точек срединной поверхности;  $L_{kl}$  — дифференциальные операторы в частных производных по переменным  $x$ ,  $y$  и  $t$ , содержащие члены с величинами внешнего давления и осевого усилия;  $t$  — время;  $Rx$ ,  $Ry$  — координаты в осевом и окружном направлениях;  $\nu$  — коэффициент Пуассона;  $E$  — модуль упругости;  $R$ ,  $h$  — радиус и толщина оболочки;  $m$  — количество ребер;  $q_{k2}$ ,  $q_{k3}$  — составляющие погонных усилий взаимодействия оболочки и  $i$ -го ребра, приведенные к линии  $x = x_i$ ;  $\delta(x)$  — дельта-функция;  $\delta_{ij} = 1$  при  $i = j$ ,  $\delta_{ij} = 0$  при  $i \neq j$ ;  $\varepsilon_i = 1$  при внутреннем расположении ребра,  $\varepsilon_i = -1$  при внешнем расположении ребра,

В случае использования теории пологих оболочек операторы  $L_{kl}$  будут иметь вид

$$\begin{aligned}
 L_{11} &= \frac{\partial^2}{\partial x^2} + \frac{1-\nu}{2} \frac{\partial^2}{\partial y^2} - \frac{(1-\nu^2) R^2}{E} \frac{\partial^2}{\partial t^2}, \quad L_{12} = \frac{1+\nu}{2} \frac{\partial^2}{\partial x \partial y} \\
 L_{13} &= \nu \frac{\partial}{\partial x}, \quad L_{21} = \frac{1+\nu}{2} \frac{\partial^2}{\partial x \partial y} \\
 L_{22} &= \frac{1-\nu}{2} \frac{\partial^2}{\partial x^2} + \frac{\partial^2}{\partial y^2} - \frac{(1-\nu^2) R^2}{E} \frac{\partial^2}{\partial t^2}, \quad L_{23} = L_{32} = \frac{\partial}{\partial y} \\
 L_{33} &= \nu \frac{\partial}{\partial x}, \quad L_{33} = c^2 \left( \frac{\partial^2}{\partial x^2} + \frac{\partial^2}{\partial y^2} \right)^2 + 1 + \frac{(1-\nu^2) R^2}{E} \frac{\partial^2}{\partial t^2} + \\
 &\quad + \frac{pR(1-\nu^2)}{Eh} \frac{\partial^2}{\partial y^2} + \frac{q(1-\nu^2)}{E} \frac{\partial^2}{\partial x^2}
 \end{aligned}$$

Здесь  $p$ —внешнее давление;  $q$ —осевое сжимающее напряжение;  $\rho$ —плотность оболочки.

Уравнения колебаний  $i$ -го ребра, имеющего поперечное сечение с осью симметрии, которая проходит по нормали к оболочке через приведенную точку контакта, можно представить в виде

$$l_{k1}^{(i)} V_i + l_{k3}^{(i)} w_i = q_{ik} \quad (k = 2, 3) \quad (2)$$

Здесь  $V_i$  и  $w_i$ —тangenциальные и радиальные перемещения точек, лежащих на осевой линии  $i$ -го ребра;  $l_{kj}^{(i)}$ —обыкновенные дифференциальные операторы по переменным  $y$  и  $t$ , содержащие члены с начальным усилием  $T_i$  в ребре.

Операторы  $l_{kj}^{(i)}$  имеют вид

$$\begin{aligned}
 l_{22}^{(i)} &= \frac{E_i^* F_i}{R^2} \frac{\partial^2}{\partial y^2} - v_i^* F_i \frac{\partial^2}{\partial t^2}, \quad l_{23}^{(i)} = \frac{E_i^* F_i}{R^2} \frac{\partial}{\partial y} \\
 l_{32}^{(i)} &= -\frac{E_i^* F_i}{R^2} \left( \frac{\partial}{\partial y} + z_i \frac{i_i}{R} \frac{\partial^2}{\partial y^2} \right) + z_i \frac{i_i}{R} - \gamma_i F_i \frac{\partial^3}{\partial y \partial t^2} \\
 l_{33}^{(i)} &= -\frac{E_i^* F_i}{R^2} \left( 1 + z_i \frac{i_i}{R} \frac{\partial^2}{\partial y^2} \right) - v_i^* F_i \frac{\partial^2}{\partial t^2} - \frac{E_i^* I_i}{R^4} \frac{\partial^4}{\partial y^4} - \frac{T_i}{R^2} \frac{\partial^2}{\partial y^2}
 \end{aligned}$$

Здесь  $F_i^*$ ,  $I_i$ —площадь и центральный момент инерции сечения ребра;  $E_i$ —модуль упругости ребра;  $i_i$ —расстояние между осевой линией ребра и поверхностью kleевого слоя;  $v_i^*$ —плотность  $i$ -го ребра.

Исключая из уравнений (1) и (2) контактные усилия, получаем

$$\begin{aligned}
 L_{k1}v + L_{k2}v + L_{k3}w + B \left| (-1)^k (1 - \delta_{k1}) \sum_{i=1}^m (l_{k2}^{(i)} V_i + l_{k3}^{(i)} w_i) \delta(x - x_i) + \right. \\
 \left. - (3c^2)^{1/2} \delta_{k3} \frac{\partial}{\partial y} \sum_{i=1}^m z_i (l_{k2}^{(i)} V_i + l_{k3}^{(i)} w_i) \delta(x - x_i) \right| = 0, \quad (k = 1, 2, 3) \quad (3)
 \end{aligned}$$

Считая kleевой слой тонким и работающим только на сдвиг, запишем для него соотношения упругости

$$\frac{G_i \gamma_i}{\gamma_i} \left[ V_i - v_i - \varepsilon_i \left( \lambda_i + \gamma_i + \frac{h}{2} \right) \frac{dw_i}{R dy} \right] = q_{iz} \quad (4)$$

$$v_i = v(x_i, y), \quad w_i = w(x_i, y)$$

где  $\xi_i$  —ширина kleевого слоя;  $G_i$  —модуль сдвига слоя;  $\gamma_i$  —толщина слоя.

Исключая  $q_{iz}$  из уравнений (2) и (4), получаем уравнение, связывающее  $V_i$ ,  $v_i$  и  $w_i$ :

$$l_1^{(i)} V_i + l_2^{(i)} v_i + l_3^{(i)} w_i = 0 \quad (5)$$

где

$$l_1^{(i)} = \frac{\partial^2}{\partial y^2} - G_{0i} - \frac{R^2}{E_i} \dot{\varphi}_i^* \frac{\partial^2}{\partial t^2}, \quad l_2^{(i)} = G_{0i}, \quad l_3^{(i)} = \left( G_{0i} \frac{r_i}{R} + 1 \right) \frac{\partial}{\partial y}$$

$$r_i = \varepsilon_i \left( \lambda_i + \gamma_i + \frac{h}{2} \right), \quad G_{0i} = \frac{\xi_i G_i R^2}{\gamma_i E_i F_i}$$

Уравнения (3) и (5) являются разрешающими уравнениями задачи. Решение уравнений (3) и (5) ищем в виде

$$u = f_1(x) \cos ny \sin \omega t, \quad v = f_2(x) \sin ny \sin \omega t \quad (6)$$

$$w = f_3(x) \cos ny \sin \omega t, \quad V_i = A_i \sin ny \sin \omega t$$

где  $\omega$  — круговая частота собственных колебаний;  $n$  — параметр волнообразования по окружности поперечного сечения оболочки.

Тогда для функций  $f_1$ ,  $f_2$  и  $f_3$  получаем уравнения

$$l_{k1} f_1 + l_{k2} f_2 + l_{k3} f_3 + B (-1)^k (1 - \delta_{k1}) \sum_{i=1}^m (a_{ik} f_{2i} + b_{ik} f_{3i}) \delta(x - x_i) = 0 \quad (7)$$

$$(k = 1, 2, 3)$$

Здесь  $l_{kj}$  — обыкновенные дифференциальные операторы;  $a_{ik}$  и  $b_{ik}$  — постоянные, образующиеся соответственно из  $L_{ki}$ ,  $l_j^{(i)}$ ,  $l_{k1}^{(i)}$  и  $l_{k3}^{(i)}$  по выполнении дифференцирования по  $x$ ,  $y$  и  $t$  согласно представлениям (6) и после отбрасывания тригонометрических функций.

Уравнения (7) имеют такую же структуру, как и уравнения работы [3] и их решение для случая шарнирно опорных краев оболочки имеет вид

$$f_k = 2B \sum_{i=1}^m \sum_{j=1}^4 \frac{1}{\Delta'(s_j)} [(a_{iz} f_{2i} + b_{iz} f_{3i}) \Delta_{2k}(s_j) - (a_{iz} f_{2i} + b_{iz} f_{3i}) \Delta_{3k}(s_j)] \left[ \frac{\sin s_j x}{\sin s_j l} \sin s_j(l - x_i) - \sin s_j(x - x_i) \tau_0(x - x_i) \right] \quad (8)$$

$$(k = 2, 3)$$

Здесь  $\varepsilon_0(x)$  — единичная функция, равная единице при  $x > 0$  и равная нулю при  $x < 0$ ;  $\Delta(s)$  — определитель, элементы которого  $c_{jk}$  получаются из  $l_{kj}$  заменой операции дифференцирования на параметр  $s$ ;  $s_j$  — корни уравнения  $\Delta(s) = 0$ , среди которых нет отличающихся только знаком;  $\Delta_{jk}$  — алгебраическое дополнение, соответствующее элементу  $c_{jk}$ .

В случае применения теории пологих оболочек будет

$$c_{11} = s^2 - \frac{1}{2}(1-\nu)n^2 + \Omega^2, \quad c_{12} = \frac{1}{2}(1+\nu)ns, \quad c_{13} = \nu s$$

$$c_{21} = -\frac{1}{2}(1+\nu)ns, \quad c_{22} = \frac{1}{2}(1-\nu)s^2 - n^2 + \Omega^2, \quad c_{23} = -n$$

$$c_{31} = \nu s, \quad c_{32} = n$$

$$c_{33} = c^2(s^2 - n^2)^2 + 1 - \Omega^2 - (1 - \nu^2)n^2 \frac{pR}{Eh} + (1 - \nu^2) \frac{q}{E}$$

$$a_{i2} = -\frac{E_i^* F_i}{R^2} M_{1i} z_i, \quad b_{i2} = -\frac{E_i^* F_i}{R^2} (1 - M_{1i}) r_{0i} z_i$$

$$b_{i3} = -\frac{E_i^* F_i}{R^2} \left[ [1 - n^2 r_{0i} (1 - \gamma_{0i})] (1 - n^2 r_{0i}) - [1 + n^2 r_{0i}^2 (1 - \gamma_{0i})] (n^2 - M_{1i}) - (n^2 - M_{1i}) (1 + M_{1i}) \frac{1}{G_{0i}} \right] z_i - \frac{E_i^* I_i}{R^4} n^4 + n^2 \frac{T_i}{R^2}$$

$$\Delta_{21} = -\frac{1}{2} n (1 - \nu) [s^2 (2 + \nu) - n^2] - n \Omega^2, \quad \Delta_{22} = -\Delta_{23}$$

$$\Delta_{33} = \frac{1}{2} (1 - \nu) (s^2 - n^2)^2 + \left[ \frac{1}{2} (3 - \nu) (s^2 - n^2) + \Omega^2 \right] \Omega^2$$

$$\Delta_{22} = \left[ s^2 - \frac{1}{2} (1 - \nu) n^2 + \Omega^2 \right] \left[ c^2 (s^2 - n^2)^2 + 1 - \Omega^2 - (1 - \nu^2) n^2 \frac{pR}{Eh} + (1 - \nu^2) s^2 \frac{q}{E} \right] - \nu^2 s^2$$

$$\begin{aligned} \Delta = & \left[ c^2 (s^2 - n^2)^2 + 1 - \Omega^2 - (1 - \nu^2) n^2 \frac{pR}{Eh} + \right. \\ & \left. + (1 - \nu^2) \frac{q}{E} \right] \left\{ \frac{1}{2} (1 - \nu^2) (s^2 - n^2)^2 + \Omega^2 \left[ \frac{1}{2} (3 - \nu) (s^2 - n^2) + \Omega^2 \right] \right\} + \\ & + \frac{1}{2} (1 - \nu) [s^4 (1 - \nu^2) - (s^2 - n^2)^2] - \Omega^2 (\nu^2 s^2 - n^2) \end{aligned}$$

где

$$\Omega^2 = \frac{R^2(1-\nu^2)}{E} \gamma_{0i}^2, \quad M_{1i} = n^2 - \frac{\gamma_{0i}\Omega^2}{1-\nu^2}$$

$$z_i = \frac{G_{0i}}{M_{1i} + G_{0i}}, \quad r_{0i} = \frac{r_i}{R}, \quad \gamma_{0i} = \frac{\gamma_i}{r_i}, \quad \gamma_{0i}^* = \frac{\gamma_i^* E}{\gamma_i^* E_i}$$

Полагая в (8) последовательно  $x = x_1, x_2 \dots x_m$ , получим систему  $2m$  однородных алгебраических уравнений относительно  $\tilde{f}_{2i}$  и  $f_{3i}$ . Приравнивая нуль определитель этой системы, получаем характеристическое уравнение.

Для одинаковых равнотянутых и равномерно расположенных ребер величины  $a_{ik}$  и  $b_{ik}$  не будут зависеть от номера  $i$  ребра (поэтому далее индекс  $i$  опускается) и  $x_i = \frac{il}{m+1}$ .

Разыскивая решение системы в виде

$$f_{2i} = a \sin \frac{\pi N x_i}{l}, \quad f_{3i} = b \sin \frac{\pi N x_i}{l}, \quad (1 \leq N \leq m+1)$$

где  $a, b$  — постоянные;  $N$  — целое число, характеризующее форму колебаний,  $IR$  — длина оболочки, также, как и в работе [3], получаем характеристическое уравнение

$$B^2 (a_2 b_3 - a_3 b_2) (\Phi_{22} \Phi_{33} - \Phi_{23} \Phi_{32}) - B (a_2 \Phi_{22} - a_3 \Phi_{32} + b_2 \Phi_{23} - b_3 \Phi_{32}) + 1 = 0$$

Здесь

$$\Phi_{ik} = \sum_{j=1}^4 \frac{\Delta_{ik}(s_j)}{\Delta'(s_j)} \frac{\operatorname{sh} s_j}{\operatorname{sh} s_j - \cos \beta}, \quad \left( s_j = \frac{s_j l}{m+1}, \quad \beta = \frac{\pi N}{m+1} \right)$$

Для варианта пологой оболочки характеристическое уравнение, разрешенное относительно изгибной жесткости, в безразмерном виде будет иметь вид

$$\frac{E^* I}{DR} = \frac{TR}{n^2 D} + \frac{1}{n^4 c^2} \frac{1 + z F_0 (1 - \nu^2) K}{z F_0 (1 - \nu^2) M_1 (\Phi_{23}^2 + \Phi_{22} \Phi_{33}) + \Phi_{33}^2} \quad (9)$$

Здесь

$$K = M_1 \Phi_{22} + M_2 \Phi_{23} + M_3 \Phi_{33} + M_4 (\Phi_{23}^2 + \Phi_{22} \Phi_{33})$$

$$M_2 = n [2 - M_1 r_0 (2 - \gamma_0)], \quad M_3 = -[1 - n^2 r_0 (1 - \gamma_0)] (1 - n^2 r_0) + \\ + \left| 1 + n^2 r_0^2 (1 - \gamma_0) + (1 + M_1) \frac{1}{G_0} \right| (n^2 - M_1)$$

$$M_4 = (1 + M_1) (n^2 - M_1) (1 - \nu^2) F_0$$

$$D = \frac{E h^3}{12 (1 - \nu^2)}, \quad F_0 = \frac{F E^*}{R h E}$$

Придавая  $n$  и  $N$  ( $1 \leq N \leq m+1$ ) различные целочисленные значения, находим величину жесткости, соответствующую определенной частоте ко-

лебаний. И наоборот, эта частота будет соответствовать найденной жесткости.

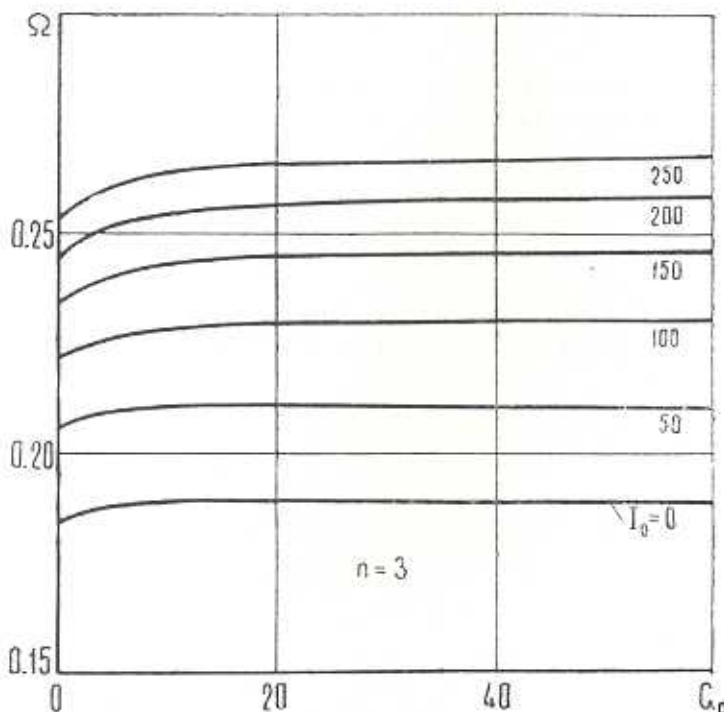
В случае, когда  $G=0$ , полученные результаты соответствуют решению при учете лишь радиального взаимодействия оболочки и ребер [2], если же  $\gamma=0$ ,  $G=\infty$ , — то решению, учитывающему тангенциальное и радиальное взаимодействия при жестком соединении оболочки и ребер [3].

По формуле (9) был проведен расчет для оболочек, характеризующихся следующими данными:

$$\epsilon^2 = 1.33 \cdot 10^{-8}, \quad r_0 = 0.02, \quad F_0 = 1, \quad l = 2, \quad m = 1, \quad \gamma_0 \ll 1$$

$$\nu = 0.3, \quad \eta_0 = 1$$

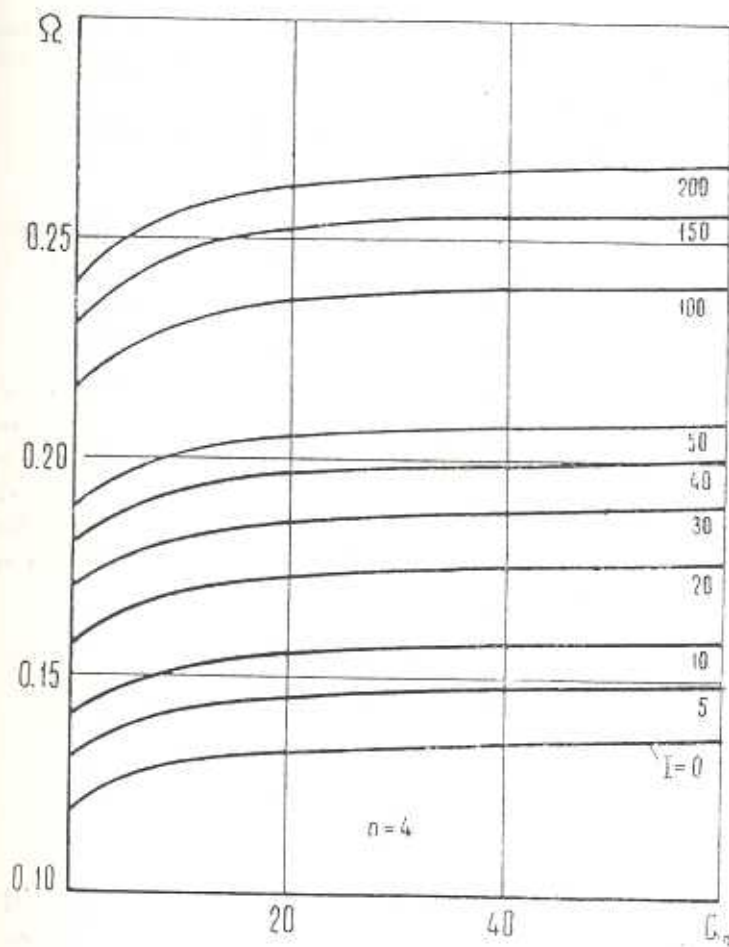
Начальное осевое усилие  $T$  принималось равным нулю.



Фиг. 1.

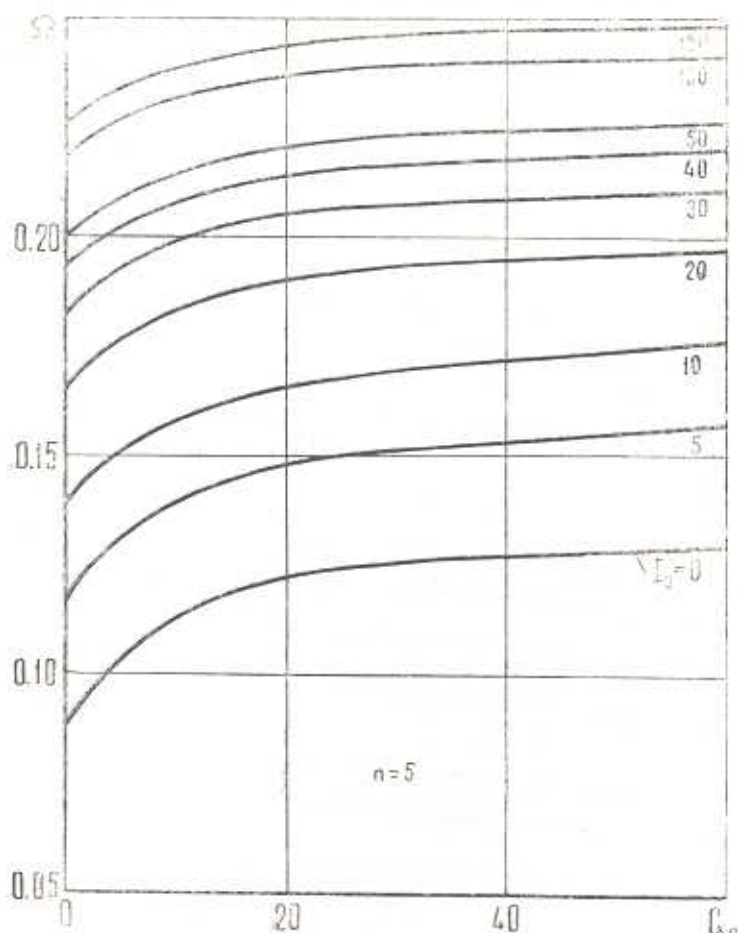
На фиг. 1—3 представлены графики изменения  $\Omega$  в зависимости от величины  $G_0$ , характеризующей жесткость kleевого слоя, для различных значений параметра жесткости ребра  $I_0 = \frac{E^* I}{D R l}$  и параметра волнообразования  $\Pi$  для колебаний по форме с «захватом» ребра. Точкам пересечения кривых с осью ординат соответствуют частоты для случая, когда от-

существует касательное взаимодействие оболочки и ребра. При увеличении жесткости kleевого слоя кривые асимптотически приближаются к значениям частот, соответствующим жесткому соединению оболочки и ребра.

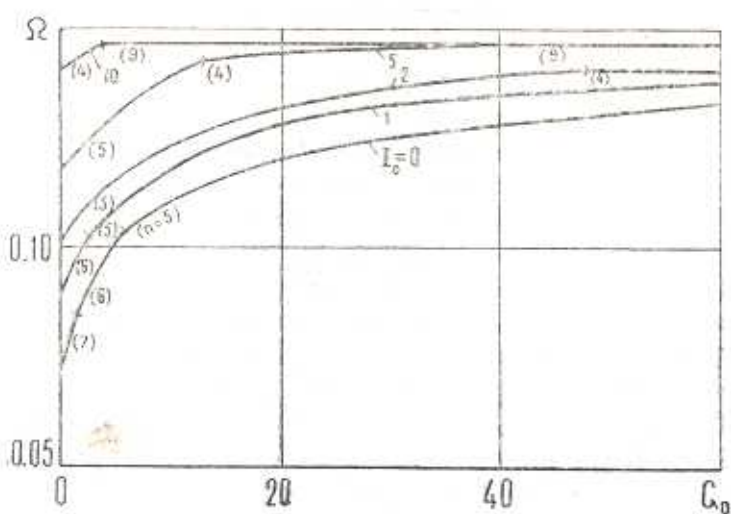


Фиг. 2.

На основании полученных результатов (в том числе для других значений  $n$ ) был проведен анализ зависимости частоты колебаний  $\Omega$  от параметра волнообразования  $n$  с целью определения экстремальных значений  $\Omega$  как функции величины  $G_0$ , характеризующей жесткость kleевого слоя. На фиг. 4 показано изменение минимальных частот в зависимости от величины  $G_0$  для различных значений параметра жесткости ребра  $I_0$  с указанием величины параметра волнообразования  $n$ , при которой реализуется минимальная частота. Верхнее значение параметра  $\Omega$  ограничено величиной  $\Omega = 0.147$ , соответствующей минимальной частоте гладкой оболочки полувинной длины, так как при любой жесткости ребра и kleевого слоя минимальная частота для оболочки с одним ребром не может превышать того значения, которому соответствует форма колебаний с узлом в среднем се-



Фиг. 3.



Фиг. 4.

чении (колебания без «захвата» ребра). В интервале между крайними значениями параметра  $\Omega$  имеет место существенная зависимость его от параметра жесткости  $G_0$  клеевого слоя. С увеличением жесткости ребра влияние клеевого слоя на частоту колебаний падает.

Московский институт  
теплотехники

Поступила 29 IX 1975

А. А. БАГДАСАРИАН, И. С. МАЛЮТИН

ОДИНАДЦАТЬ ЧИСЕРІН ԱՊԱԿՈՎԱ ՄԻԱՅՎԱՌ ԴԱԼԱՅԻՆ ԹԱՂԱՆԹԻ  
ԱԶԱՏ ՏԱՏԱՆՈՒՄՆԵՐԸ

Ա մ փ ո փ ու մ

Եղանգում է առանձման միջոցով օգակային կողերին միացված պահածել թաղանթի ազատ տատանումների ժամկի խնդիրը. Եթե գործում են արտաքին ձնշումներ և տապանցրացին ուժերը:

Հաշվի է առնվում կողերի անդարշացնման դիոկրետ բառությունը. Ստացված է բնութագրող հավասարություն: Ցույց է տրվում առանձին ազդեցությունների թաղանթի ազատ տատանումների հաճախության վրա:

## FREE VIBRATION OF A CYLINDRICAL SHELL GLUED TO RING RIBS

A. A. BAGDASARIAN, I. S. MALYUTIN

Տ ս տ մ ա ր յ ս

The problem of free vibration of a cylindrical shell glued to ring ribs under external pressure and axial forces is solved considering the discrete nature of rib arrangement. The characteristic equation is obtained.

The effect of a glue on the frequency of free vibration of the shell is shown.

## Л И Т Е Р А Т У Р А

1. Капелюшник И. И., Михалев И. И., Эйдельман Б. Д. Технология склеивания деталей в самолетостроении. М., Изд-во «Машгостроеение», 1972.
2. Озубалов П. М., Колтунов М. А. Оболочки и пластины. М., Изд-во МГУ, 1969.
3. Малютин И. С. Устойчивость цилиндрической оболочки, подкрепленной кольцевыми ребрами, при действии внешнего давления и осевых сил. Изв. АН СССР. МТГ, 1971, № 2.